

## بررسی تأثیر انحراف معیار هندسی ذرات در مطالعات دور سنجی بافت خاک

• مجید دانش

دانشجوی دکتری، فیزیک و حفاظت خاک، دانشکده کشاورزی، دانشگاه تربیت مدرس، تهران

• حسینعلی بهرامی

دانشیار فیزیک و حفاظت خاک دانشکده کشاورزی، تهران (نویسنده مسئول)

• سید کاظم علوی پناه

استاد گروه سنجش از دور، دانشکده جغرافیا، دانشگاه تهران

• علی اکبر نوروزی

دانشجوی دکتری، فیزیک و حفاظت خاک، دانشکده کشاورزی، دانشگاه تربیت مدرس، تهران

تاریخ دریافت: ۱۳۸۸ تاریخ پذیرش: آذر ماه ۱۳۸۹

تلفن تماس نویسنده مسئول: ۰۹۱۲۱۳۰۷۷۶۴

Email: bahramih@modares.ac.ir

### چکیده

یکی از عوامل مهم تأثیرگذار بر بازتاب طیفی خاک، درجه همگونی ذرات خاک می باشد که با انحراف معیار هندسی ذرات خاک (5g)<sup>۱</sup> سنجیده می شود. تحقیق حاضر، با استفاده از داده های چهار طیفی ماهواره سنجش از دوری هند (پی-۶)، اثر انحراف معیار هندسی ذرات در بررسی های طیفی بافت خاک را مورد مطالعه قرار داده است. برای این منظور، پس از دریافت داده های خام ماهواره ای، تصحیحات لازم بر روی آن انجام گرفته و پردازش هایی شامل: شاخص پوشش گیاهی با اختلاف نرمال شده، تجزیه مؤلفه اصلی، فاصله اقلیدسی از خط خاک و طبقه بندي نظارت نشده انجام شد. در نهایت با استفاده از روش نمونه برداری طبقه بندي شده تصادفی و بر اساس تصویر رنگی کاذب منطقه و واحد های همگن رنگی در تصویر اصلی منطقه و لایه های کمکی اطلاعاتی، ۹۵ نقطه تعیین و از عمق ۵-۰ سانتیمتری سطح خاک، نمونه برداری انجام گرفت. سپس مقادیر اجزای بافت و انحراف معیار هندسی ذرات خاک برای هر نمونه محاسبه شده، کل نمونه ها به دو گروه: با  $10 < 5g$  با انجراف معیار (خاک همگون) و با  $5g \geq 10$  (خاک غیرهمگون) تقسیم شدند. روابط هم بستگی داده های خاک و بازتاب های طیفی در این دو گروه مورد بررسی قرار گرفتند و در ادامه نشان داده شد که در گروه اول (خاک های همگون)، مقادیر رس و شن دارای محدوده هم بستگی دارند. در حالی که در گروه دوم (خاک های نا همگون)، این مقادیر به  $0/4 - 0/3$  با اطلاعات ماهواره ای بوده، تنزیل پیدا کرد. بنابراین مشخص گردید که انحراف معیار هندسی ذرات خاک (5g)، دارای اثر بارزی بر اطلاعات دور سنجی شده از سطح خاک می باشد.

کلمات کلیدی: انحراف معیار هندسی ذرات، بافت خاک، دور سنجی، هم بستگی، همگونی

Watershed Management Research (Pajouhesh &amp; Sazandegi) No 90 pp: 29-41

**Probe the impact of geometric standard deviation of soil particles ( $\sigma_g$ ) on remote sensing study of soil texture**

By: M. Danesh, PhD Student of Agriculture Faculty, University of Tarbiat Modarres. Bahrami H, Associate Professor of Agriculture Faculty of Tehran University (Corresponding Author; Tel: +989121307364), Alavipanah S.K. Professor of Geohraphy Faculty, Tehran University, Nowrouzi A.A. PhD Student of Agriculture Faculty, Univetsity of Tarbiat Modarres.

Homogeneity of soil particles is the potent factor which affects soil spectral signatures and known as the Geometric Standard Deviation of soil particles ( $\sigma_g$ ). This study presents the influence of  $\sigma_g$  on spectral studying of soil texture using four spectral data sets of LISSIII-P6 and was coincident sampling operations. Subsequent to satellite data preprocessing, some operations were done such as: Normalized Difference Vegetation Index, Principal Component Analysis, Soil Line Euclidean Distance and Unsupervised Classification on acquired data. By stratified randomized sampling method and according to the false color composite and photomorphic units of the main image of the study area, 95 sample points were eventually selected and gathered from 0-5cm of soil surface. Afterwards, geometric standard deviation ( $\sigma_g$ ) and texture fragments were determined for each sample point in the soil lab. Samples were accordingly divided into two parts, on the basis of the computed geometric standard deviation: the first,  $\sigma_g < 10$  (homogeneous soil) and the second,  $\sigma_g \geq 10$  (heterogeneous soil). Subsequently via correlation operations for both group, it was expressly displayed which in the first group ( $\sigma_g < 10$ ), clay and sand had about 0.7-0.8 correlations with the remotely sensed data, whereas the second group ( $\sigma_g \geq 10$ ) had about 0.3-0.4. Hence, the geometric standard deviation ( $\sigma_g$ ) of the study region can powerfully impress soil spectral reflectance.

**Keywords:** Geometric standard deviation, Homogeneity, Remote sensing, Soil particle, Soil texture

**مقدمه**

از دور، به شکل ابزار بسیار مفیدی در علوم خاک و زمین در آمده، چرا که اطلاعات مربوط به خاک، بدون ایجاد تماس نزدیک با آن قابل به دست آوردن است (Farifteh و همکاران ۲۰۰۶). هم چنین، استفاده از اطلاعات دورسنجی شده در مطالعه خاک، به علت قدرت تفکیک مکانی متغیر و به هنگام بودن تصاویر، چند طیفی بودن و پوشش وسیع اطلاعات، بسیار مفید و مؤثر می باشد (Lopez و همکاران ۲۰۰۵). مطالعات متعدد نشان داده اند که طیف های بازتابی از سطح خاک توسط بسیاری از خصوصیات خاک تحت تأثیر قرار می گیرند و با کمک این طیف های بازتابی می توان به مطالعه بسیاری از خصوصیات خاک پرداخت (Demattê و همکاران ۲۰۰۴). امروزه، مشخص شده است که چهار عامل اصلی بر بازتاب طیفی از سطح خاک اثر می گذارند که شامل: بافت و اندازه ذرات، مینرالوژی، ماده آلی و رطوبت خاک می باشد (Bogerkci و Lee ۲۰۰۴). عالیم طیفی بدست آمده از سطح خاک، اطلاعات اولیه ای را در اختیار ما قرار می دهند که می توان با استفاده از آن ها، بسیاری از ویژگی های خاک را مورد بررسی قرار داد (Dwivedi ۲۰۰۱). مطالعات نشان می دهند که بازتاب های طیفی خاک در طیف های مرئی<sup>۱</sup> و مادون قرمز نزدیک<sup>۲</sup>، از ۰/۱ تا ۱/۱ میکرون و در مادون قرمز میانی<sup>۳</sup> از ۱/۱ تا ۲/۵ میکرون، و هم چنین در مادون قرمز حرارتی<sup>۴</sup> از ۳ تا ۵ میکرون و ۸ تا ۱۲ میکرون، می توانند اطلاعات زیادی درباره خاک ارائه دهند (Rossel و Viscarra Rossel و همکاران ۲۰۰۶). یکی از مهم ترین عوامل تأثیر گذار بر رفتار طیفی خاک، همگونی و یک نواختی اندازه ذرات خاک می باشد. همگونی اندازه ذرات خاک قادر است بر رفتار طیفی خاک اثر بگذارد، به طوری که ذرات ریزتر و همگون تر حجم خاک را بیشتر پر کرده و منجر به ایجاد سطح صاف باشد (Dematte و Nanni ۲۰۰۶).

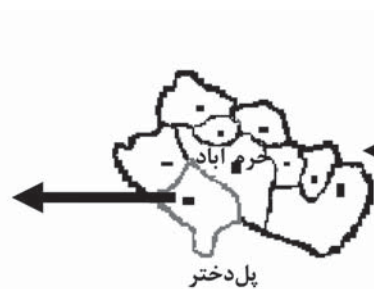
دارد و گرم ترین منطقه استان بوده و جزو ناحیه گرم و نیمه خشک استان محسوب می‌شود. از جمله ویژگی‌های اصلی آب و هوایی این منطقه بالا بودن میانگین دمای سالانه، تبخیر زیاد و کمبود شدید بارندگی می‌باشد. هم چنین واقع شدن منطقه موردنظر در عرض جغرافیایی ۳۳ درجه، باعث شده است تا میزان انرژی خورشیدی بیشتری را دریافت کند. متوسط دمای سالانه منطقه حدود ۲۲/۳ درجه سانتی گراد است و بیش ترین بارش منطقه در ماه آذر به میانگین ۹۱/۸ میلی متر و کم ترین مقدار بارش نیز به میزان کمتر از ۱ میلی متر (صفر میلی متر)، از اواخر خرداد ماه تا اواسط شهریور ماه می‌باشد. هم چنین، میانگین بارش سالانه در منطقه مورد مطالعه بر اساس محاسبات آماری ۳۵ ساله، حدود ۴۱۵ میلی متر و رطوبت نسبی سالانه منطقه حدود ۳۶ درصد می‌باشد که جزو مناطق گرم و نیمه خشک به حساب می‌آید. از مهم ترین ویژگی‌های این منطقه، تعلق آن به سیستم کوه زایی آلپی، جوان بودن و عدم تکامل خاک‌های منطقه است. طبق مطالعات منابع و ارزیابی اراضی، قسمت‌های مرکزی منطقه را واحد‌های نیمه کوهستانی مرتفع تشکیل داده اند که در برخی از قسمت‌ها دارای خاک کم عمق از رده انتی سول‌ها بوده و دارای پوشش گیاهی ضعیفی است که در شرایط مناسب پوششی، از آن به عنوان چراغ‌های فصلی استفاده می‌شود. در بخش‌های غرب، شرق و شمالی منطقه، شامل واحد‌های کوهستانی با پوشش جنگلی ضعیف و مرتع متوسط تا ضعیف بوده و دارای خاک‌های نیمه عمیق تا عمیق و از رده اینسپیتی سول و مالی سول‌ها می‌باشد که از این اراضی به عنوان جنگل و چراغ‌های استفاده می‌شود. (آبخیزداری حوضه کرخه، ۱۳۷۴).

### روش تحقیق

مسیر انجام تحقیق و مراحل مختلف انجام کار در شکل ۲ بطور خلاصه ذکر شده و تفصیل آن در ادامه آمده است.

#### جمع آوری اطلاعات مورد نیاز برای مطالعه

در این مطالعه از داده‌های ماهواره P6 LISS-III، از سری ماهواره‌های سنجش از دور هندوستان<sup>۱۵</sup>، در ۱۷ شهریور ۱۳۸۶ که هم زمان با عملیات نمونه برداری در منطقه بوده است، استفاده گردید. از مشخصات این سنجنده: قدرت تفکیک زمینی ۲۳/۵ متر، قدرت تفکیک رادیومتری ۷ بیت، عرض تصویر برداری ۱۴۰ کیلومتر و مشتمل بر چهار باند سبز، قرمز، مادون قرمز نزدیک و مادون قرمز میانی می‌باشد.



### مواد و روش‌ها

#### منطقه مورد مطالعه

منطقه مورد نظر با طول جغرافیایی  $۴۷^{\circ} ۲۹' - ۴۷^{\circ} ۴۴'$  و عرض جغرافیایی  $۳۳^{\circ} ۰' - ۳۳^{\circ} ۱۵'$  در جنوب غربی استان لرستان، حوالی شهر پل دختر واقع شده است و در برگیرنده قسمتی از حوضه آبریز کرخه و زیر حوضه کشکان بوده و دارای وسعتی بالغ بر  $۴۵۰$  کیلومتر مربع می‌باشد. (شکل ۱) این منطقه اقلیمی متفاوت با دیگر نقاط استان لرستان

شکل ۱- موقعیت جغرافیایی منطقه مورد مطالعه

از این روش برای پیدا کردن اطلاعات کلی از منطقه، مفید می باشد. بنابراین به علت دقت پایین این روش و عدم تجربه کافی از منطقه، تصویر و اطلاعات حاصل از این روش، صرفاً جهت بدست آوردن اطلاعات طیفی کلی مورد استفاده قرار گرفت (Kiefer و Lillesand, ۱۹۹۴؛ Richards و C-۳, ۱۹۹۳).

- تصویر حاصل از محاسبه فاصله اقلیدسی از خط خاک؛ از این شاخص بیشتر برای تحلیل پوشش های گیاهی، ماده آلی خاک و نیز نمونه برداری استفاده می گردد (Baret و همکاران ۱۹۹۳؛ Fox و همکاران ۲۰۰۳). هدف از استفاده این روش، بررسی وجود ارتباط طیفی های بازنای محاسبه شده برای هر پیکسل، بر اساس فاصله طیفی از خط خاک، با خصوصیت مورد نظر در خاک می باشد (شکل D-۳). فرمول فاصله اقلیدسی از خط خاک بطریق زیر است (Sabbagh و Fox, ۲۰۰۲):

$$D = (\sqrt{(nir - A)^2 + (r - B)^2})^{0.5}$$

که در آن،  $D$  فاصله اقلیدسی هر پیکسل از خط خاک است،  $nir$  بازتاب طیفی تصویر در مادون قرمز و  $r$  بازتاب طیفی تصویر در محدوده قرمز،  $A$  حداقل بازتاب در طیف مادون قرمز و  $B$  حداقل بازتاب در طیف قرمز، و این دو عدد آخر با استفاده از نمودار خط خاک بدست می آید. از آن جایی که این تصاویر، دارای مقادیر متفاوتی پوشش های گیاهی می باشند، در نتیجه با استفاده از شاخص پوشش گیاهی به دست آمده، پیکسل های دارای پوشش گیاهی بالا، از تصاویر حذف شدند تا نمونه برداری از این مناطق انجام نپذیرد. برای این منظور از شاخص پوشش گیاهی با تمایز نرمال شده طبق فرمول زیر استفاده گردید (Bannari و همکاران ۱۹۹۵):

$$NDVI = (NIR - R) / (NIR + R)$$

که در آن  $R$  بازتاب از سطح زمین در باند قرمز و  $NIR$  بازتاب در

### پردازش اطلاعات ماهواره ای

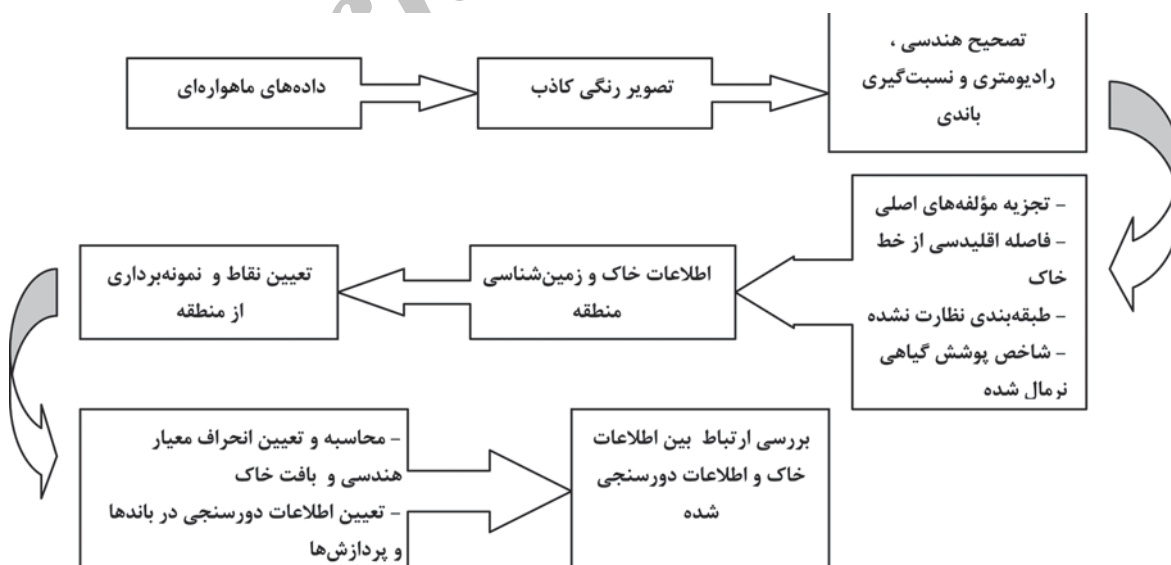
در ابتدا برای تصویر منطقه، سیستم مختصات<sup>۱۶</sup> واحد تعیین شد و سپس تصحیح هندسی<sup>۱۷</sup> تصویر، در ۶۰ نقطه زمین کنترل<sup>۱۸</sup> و با خطای ۰/۵ پیکسل، با استفاده از نقشه رقومی شده راه های منطقه در باند اول تصویر انجام شده (نقشه به تصویر<sup>۱۹</sup>) و سپس این تصویر مبنای کار برای تصحیح باندهای دیگر قرار گرفت (تصویر به تصویر<sup>۲۰</sup>). برای ترفع خطای رادیومتری و اتمسفری<sup>۲۱</sup>، هیستوگرام باند مادون قرمز نزدیک (باند ۳) ترسیم شد. پس از ایجاد تصویر منطقه مورد نظر، عملیات: شاخص پوشش گیاهی با اختلاف نرمال شده<sup>۲۲</sup>، تحلیل مؤلفه های اصلی<sup>۲۳</sup>، طبقه بندی نظارت نشده<sup>۲۴</sup> و فاصله اقلیدسی از خط خاک<sup>۲۵</sup>، بر روی این تصویر انجام گرفت.

### مشخص کردن نقاط نمونه برداری در منطقه مورد مطالعه

در نهایت چهار تصویر حاوی اطلاعات مختلفی از منطقه بدست آمد، که شامل: - تصویر رنگی کاذب<sup>۲۶</sup>؛ با استفاده از سه باند ترتیبی قرمز، سبز، مادون قرمز نزدیک و با فاکتور شاخص مطلوب ۹۵/۱<sup>۲۷</sup> بدست آمد. (شکل A-۳)

- لایه اول حاصل از تجزیه مؤلفه های اصلی<sup>۲۸</sup>؛ یکی از روش هایی که برای کاهش هم بستگی بین داده های چند متغیره و افزایش تمایزات در آن ها استفاده می شود، روش تحلیل مؤلفه های اصلی می باشد که هدف آن متراسکم ساختن اطلاعات و حذف اطلاعات زائد و تکراری در جهت صرفه جویی در وقت و هزینه می باشد (Jensen, ۲۰۰۰). لایه اول مؤلفه اصلی، دارای بیش ترین اطلاعات بوده و حداقل تراکم اطلاعات در این لایه می باشد (Jensen, ۱۹۹۶)، لذا PC1 با استفاده از چهار باند طیفی سبز، قرمز، مادون قرمز نزدیک و مادون قرمز میانی ایجاد شد. (شکل B-۳)

- تصویر حاصل از طبقه بندی نظارت نشده؛ برخی معتقدند که استفاده



شکل ۲- خلاصه ای از مراحل انجام تحقیق

در متداول‌ترین بسیاری از مقالات روز (Chang و همکاران ۲۰۰۱)، از تحلیل آماری مؤلفه‌های اصلی و نیز تحلیل متعارفی کانونیک<sup>۳۸</sup>، جهت افزایش هم‌ستگی اطلاعات رقومی با اطلاعات خاک، از طریق روابط غالبیت<sup>۳۹</sup> خصوصیات خاک نسبت به عوامل جانبی و نیز مغلوب سازی عوامل خطا سازی هم چون میکرو-ریلیف‌ها و سنگریزه‌ها استفاده شده است. که این روش‌های آماری به هیچ وجه سبب حذف عوامل مزاحم نشده، بلکه با غالب کردن تمایزات و تراکم اطلاعات و افزایش واریانس، سبب کم رنگ کردن آثار مزاحمت‌های بازتابی<sup>۴۰</sup> (در صورت بروز) می‌گردد.

۴- با کمک عملیات دسته بندی<sup>۴۱</sup> و میانگین گیری طیفی جهت افزایش تمایزات و کاهش خطای سنگریزه و بر جستگی‌های سطحی. (Kiefer و Lillesand ۱۹۹۴)

در نهایت با اضافه کردن لایه فاصله اقلیدسی از خط خاک و تصویر اول تجزیه مؤلفه‌های اصلی، و نیز لایه‌های اطلاعاتی (اطلاعات جانبی) شامل لایه‌های استفاده اراضی، سری‌های خاک، رودخانه، راه‌های اصلی و فرعی به تصویر مینا، سبب تعیین بهتر نقاط نمونه برداری شده و در نهایت، تعداد ۹۵ نقطه در تصویر منطقه، با استفاده از روش طبقه بندی شده تصادفی<sup>۴۲</sup> (خواجه‌الدین، ۱۳۷۹) و با توزیع مناسب، تعیین شد. (شکل ۴- B)

#### عملیات میدانی<sup>۴۳</sup>

پس از انتخاب نقاط نمونه برداری بر روی تصویر و مشخص کردن مختصات جغرافیایی نقاط بر روی آن، به منطقه مورد مطالعه رفته و با استفاده از موقعیت یاب جهانی<sup>۴۴</sup>، نقاط مورد نظر یافته و از عمق ۰-۵ سانتی‌متری سطح خاک نمونه برداری انجام گردید. لازم به ذکر است که مطالعه حاضر به علت برخوردار بودن از تلفیق تحلیل نظارت نشده با نظارت شده و اطلاعات منطقه، نقشه سری‌های خاک، زمین‌شناسی و ژئوگرافی منطقه، نقشه راه‌ها و ...، این امکان را ایجاد کرد که دخالت عوامل خطا ساز را تا جای ممکن با استفاده از نمونه برداری از مناطق با شرایط مطلوب تر، کاهش داده و سپس با بهره گیری از تصحیحات و عملیات مذکور، تا حد امکان در شرایط طبیعی به بررسی برخی از خصوصیات خاک در منطقه پرداخته شود.

محدوده مادون قرمز نزدیک می‌باشد. از آن جایی که وجود پوشش گیاهی در سطح خاک، باعث محدود شدن و پوشانیدن بازتاب طیفی سطح خاک می‌شود، لذا برای انتخاب نقاط نمونه برداری در منطقه، باید مناطقی را انتخاب کرد که دارای خاک لخت و یا حداقل پوشش گیاهی و تراکم کم باشد تا بازتاب خاک به طور مستقیم از سطح خاک بوده و بتواند برای بدست آوردن ارتباط با خصوصیات خاک، مورد مطالعه قرار گیرد. (Rondeaux Huette ۱۹۸۸ و همکاران ۱۹۹۶). (شکل ۴- A)

در تعیین نقاط نمونه برداری، تصویر رنگی کاذب (FCC)، به علت بالا بودن فاکتور شاخص مطلوب آن و بهتر نشان دادن پدیده‌های طیفی سطح زمین، مبنای کار قرار داده شد. هم چنین برای کاهش خطاهای احتمالی موجود (اثر سایه و سنگریزه‌های پراکنده و نیز عامل پستی و بلندی)، از روش‌های زیر استفاده گردید:

۱- در مورد میکرو-ریلیف و سنگریزه‌های احتمالی، خطای این دو عامل هم چون اغلب عوامل خطا ساز در ایجاد پیکسل های سایه و به عبارتی اثرات سایه و تباین<sup>۴۵</sup>، با بهتر نشان دادن پیکسل های سایه و تباین زیرین<sup>۴۶</sup> ترکیب بوده‌اند: (Gupta و Cozzolino ۱۹۹۱؛ Morón ۲۰۰۳؛ Cierniewski ۱۹۸۷)

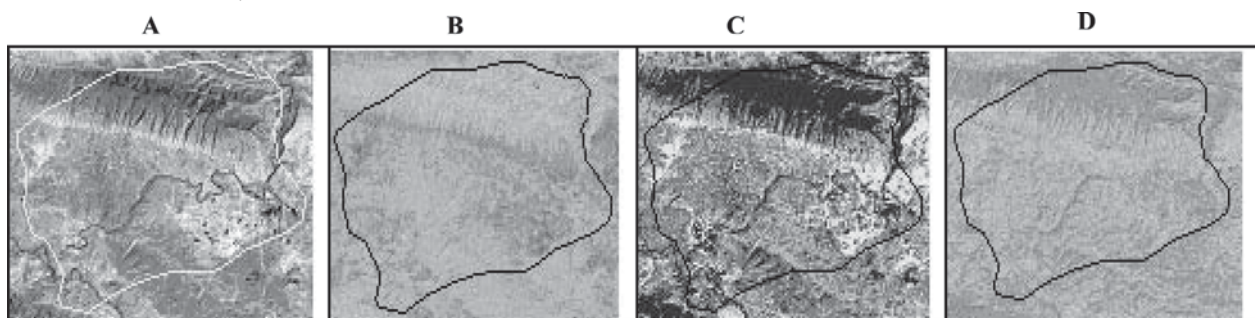
- نسبت گیری باندی<sup>۴۷</sup>

- تابع اثر سایه- تبیرگی<sup>۴۸</sup>

- تابع اثر تباین<sup>۴۹</sup>

۲- عملیات پر سازی<sup>۵۰</sup> و تسطیح خطای جزیی ناشی از پستی و بلندی: استفاده از عملیات پر سازی<sup>۵۱</sup> تصویر در حالت پیکسل به پیکسل برای از بین بردن خطای ماکرو-ریلیف‌ها (توبوگرافی سطحی، دره‌ها و گودی‌های با عمق زیاد) استفاده می‌گردد و چه آنکه در عملیات تعیین خطوط هیدرولوژیکی و بررسی خط الرأس و خط القعر در گودی‌های مدل رقومی ارتفاعی<sup>۵۲</sup> نیز کاربرد دارد (Thompson و همکاران ۲۰۰۱). در تحقیق انجام شده از عملیات پر سازی سطحی در نقشه مقدایر ارزشی<sup>۵۳</sup> استفاده و با تشکیل شاخص سایه در مدل ارتفاعی رقومی، از این مناطق نمونه برداری صورت نگرفت. چه آنکه این مناطق در نواحی بد لند و صعب العبور واقع شده و امکان نمونه برداری از آن‌ها نبود.

۳- استفاده از عملیات محاسباتی تجزیه مؤلفه‌های اصلی<sup>۵۴</sup> برای افزایش تمایزات (Aitchison ۱۹۸۶): برای افزایش تمایزات و تراکم اطلاعات،



شکل ۳- A: تصویر رنگی کاذب منطقه، B: لایه اول تجزیه مؤلفه اصلی، C: لایه طبقه-بندی نظارت نشده، D: لایه فاصله اقلیدسی از خط خاک منطقه

اصلی و فاصله اقلیدسی از خط خاک به همراه اطلاعات بافت نمونه ها وارد محیط SPSS شده و نمودار پراکنده<sup>۴۵</sup> آن ها رسم گردید و نیز رابطه هم بستگی این اطلاعات در جدولی به نام ماتریس هم بستگی<sup>۴۶</sup> ارائه گردید.

#### یافته های اولیه

در ابتداء روابط بین اجزای بافت خاک با اطلاعات دور سنجی برای کل نمونه ها و در حالت کلی (بدون در نظر گرفتن اثر  $\sigma_g$ ) مشخص گردید که در جدول ۱ آورده شده:

- همان طور که در جدول ۱ ملاحظه می گردد، بیشترین هم بستگی رس با باند سبز،  $0/715$  - بوده است و پس از آن به ترتیب با باند های قرمز، مادون قرمز نزدیک و در نهایت مادون قرمز میانی دارای هم بستگی می باشد که در سطح آماری یک درصد، کاملاً معنی دار بوده است. هم چنین هم بستگی با لایه اول مؤلفه های اصلی به مقدار  $1/70$  - بوده و ارتباط معنی داری با فاصله اقلیدسی موجود نبوده است.

- مقادیر سیلت منطقه، دارای ارتباط معنی داری با باند های طیفی (حتی در سطح آماری ۵ درصد) نبوده است. هم چنین فاقد ارتباط معنی دار با لایه تجزیه مؤلفه های اصلی و فاصله اقلیدسی از خط خاک بوده است.

- هم بستگی شن با باند سبز به مقدار  $0/467$  - بوده است که در سطح آماری یک درصد معنی دار بوده و پس از آن به ترتیب با باند های قرمز، مادون قرمز نزدیک و مادون قرمز میانی هم بستگی معنی داری داشته است. هم چنین با لایه اول مؤلفه های اصلی به مقدار  $0/444$  - بوده و فاقد هم بستگی معنی داری با فاصله اقلیدسی بوده است.

بر اساس  $\sigma_g$ ، نمونه ها به دو گروه: همگن ( $10 < \sigma_g < 10$ ) و ناهمگن ( $\sigma_g \geq 10$ ) تقسیم شدند و روابط بین اطلاعات خاک و داده های دورسنجی شده در این دو گروه بررسی گردیدند و با هم مقایسه شدند. بر اساس جداول ۲ و ۳، همان طور که ملاحظه می گردد، در نمونه های گروه اول شامل خاک های همگون، بیشترین هم بستگی شن با باند سبز به مقدار  $0/798$  و رس با باند سبز به مقدار  $0/829$  - بوده است. هم چنین هم بستگی شن و رس با لایه اول مؤلفه های اصلی (PC1) بترتیب:  $0/760$  و  $0/810$  - بوده است، که حتی از هم بستگی های بدست آمده

#### عملیات آزمایشگاهی

نمونه ها پس از جمع آوری در پاکت های نایلونی، از پل دختر به آزمایشگاه خاک شناسی واقع در دانشکده کشاورزی دانشگاه تربیت مدرس انتقال داده شدند. پارامترهای مورد نظر خاک شامل: شن، سیلت و رس بوده اند. برای تعیین اجزای بافت، از روش هیدرومتری استفاده گردید (Soil Survey Staff ۱۹۹۶).

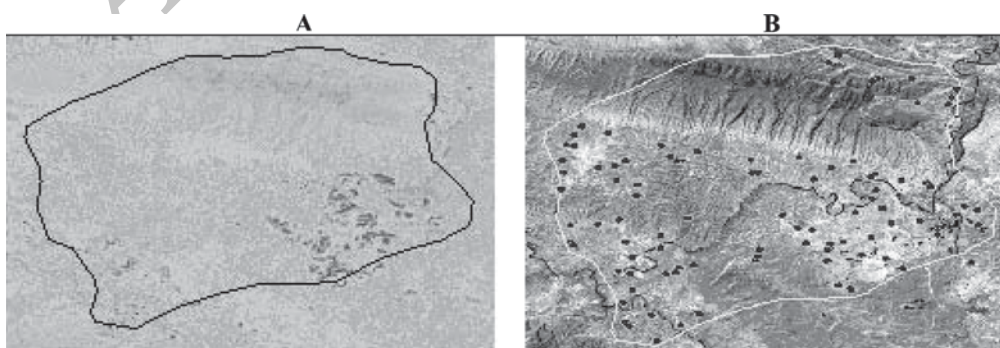
#### عملیات محاسباتی

برای بررسی اثر انحراف معیار هندسی ذرات ( $\sigma_g$ ) بر اطلاعات دور سنجی شده در مطالعه بافت خاک منطقه، با استفاده از روابط بافت خاک Boersma و Shirazi (۱۹۸۴) مقادیر شن، سیلت و رس برای هر نمونه وارد نرم افزار اکسل شده و سپس مقادیر انحراف معیار هندسی ذرات ( $\sigma_g$ ) با استفاده از روابط ۳ محاسبه گردیدند (Boersma و Shirazi ۱۹۸۴):

$$\sigma_g = \exp b \rightarrow b^2 = 0.01 \sum_{i=1}^n f_i \ln^2 M_i - a^2 \rightarrow a = 0.01 \sum_{i=1}^n f_i \ln M_i$$

که در این فرمول:  $\sigma_g$  انحراف معیار هندسی ذرات خاک بوده و  $f_i$  درصد فراوانی هر یک از اجزای سازنده خاک (شن، سیلت، رس) و  $M_i$  میانگین عددی قطر هر جزء می باشد. مقادیر  $M_i$  برای شن برابر با  $1/0.25$  میلی متر و برای سیلت برابر با  $0/0.26$  میلی متر و برای رس برابر با  $0/0.01$  میلی متر می باشد.

در ابتداء هم بستگی بین اجزای بافت خاک با اطلاعات سنجش از دوری در کل نمونه ها (۹۵ نمونه) تعیین گردید. در مرحله بعد، بر اساس Boersma و Shirazi محاسبه شده (بر اساس فرمول ارائه شده توسط  $52$  در سال ۱۹۸۴)، کل نمونه ها به دو گروه:  $43 < \sigma_g < 10$  نمونه با  $10 < \sigma_g \leq 40$  نمونه با  $\sigma_g \geq 10$  تقسیم شدند. سپس در این دو گروه، ارتباط بین بافت خاک با باند های اصلی، لایه اول تجزیه مؤلفه های اصلی و فاصله اقلیدسی دورسنجی شده نقاط نمونه برداری در چهار باند اصلی سبز، قرمز، مادون قرمز نزدیک و مادون قرمز میانی، اطلاعات لایه اول تجزیه مؤلفه های



شکل ۴ - A: لایه شاخص پوشش گیاهی با اختلاف نرمال شده، B: توزیع نقاط نمونه برداری بر روی تصویر اصلی منطقه

آن‌ها دارای اشکال منظم تر و مترکم تری می‌باشند که بیان گر هم بستگی‌های قوی تری با بازتاب‌های طیفی از سطح خاک می‌باشد (شکل ۵، ستون ۱، A1) (۱). هم‌چنین سیلت اگرچه فاقد هم بستگی معنی‌داری با اطلاعات دورسنجی شده می‌باشد، ولیکن باز هم بین نمودارهای هم بستگی آن با اطلاعات دورسنجی شده در خاک‌های غیر همگون (شکل ۵، ستون ۲، D2) و خاک‌های همگون (شکل ۵، ستون ۱، D1) (F1)، می‌توان بهوضوح اثر  $\sigma g$  را دید. به نحوی که هم‌چون شن و رس، سیلت نیز دارای نمودارهای پراکنده‌ی منظم تری در خاک‌های همگون نسبت به خاک‌های ناهمگون می‌باشد. هم‌چنین با استفاده از تخمین منحنی<sup>۴۷</sup> و بر اساس نمودارهای پراکنده‌ی (شکل ۶)، مشخص گردید که روابط موجود بین خصوصیات مورد مطالعه خاک و داده‌های دورسنجی شده ماهواره‌ای در اولویت از روابط غیر خطی<sup>۴۸</sup> (درجه سوم) تبعیت می‌کنند. همان‌طوری که ملاحظه می‌گردد در خاک‌هایی که دارای انحراف معیار هندسی ( $\sigma g$ ) بالاتری اند (همگون ترند)، خط تمایل<sup>۴۹</sup> نمودار پراکنده‌ی آن‌ها دارای تطبیق بالاتر و بهتری با نقاط می‌باشد، به عبارت دیگر، خاک‌های گروه اول (همگون) دارای ضریب تبیین بسیار بیش تری بوده و خط تمایل آن‌ها دارای انتطبق تمام روابط (خطی و غیرخطی) مشهود می‌باشد. (شکل ۶ و جداول ۴ و ۵)

در حالت کلی نیز بیش تر بوده است. در نمونه‌های گروه دوم شامل خاک‌های ناهمگون، بیش ترین هم بستگی شن با باند سبز به ۰/۳۳۵ ترزل پیدا کرده که فقط در سطح آماری ۵ درصد معنی دار بوده است. هم‌چنین هم بستگی رس با باند سبز به مقدار ۰/۴۴۸ کاهش یافته و نیز هم بستگی شن و رس با لایه اول مؤلفه‌های اصلی (PC1) در نمونه‌های ناهمگون بترتیب به مقدار ۰/۲۷۱ و ۰/۴۳۹ ترزل پیدا کرده است. در هر دو گروه، اطلاعات مذکور خاک فاقد هرگونه ارتباط معنی‌داری با فاصله اقلیدسی از خط خاک (SLED) بوده‌اند. همان‌طوری که در شکل ۵ و جداول ۲ و ۳ ملاحظه می‌گردد،  $\sigma g$  دارای اثر بارزی بر بازتاب طیفی مرتبط با شن و رس خاک می‌باشد که این تأثیر در مورد بازتاب طیفی هر چهار باند ماهواره‌ای کاملاً مشهود می‌باشد. در شکل ۵ و جدول ۳ هم ملاحظه می‌شود، در خاک‌هایی که دارای  $\sigma g$  بالاتری (غیر یک نواخت) می‌باشند (شکل ۵، ستون ۲، A2) (۲)، اجزای بافت خاک دارای هم بستگی‌های بسیار ضعیف تری با بازتاب طیفی از سطح خاک می‌باشند و در نتیجه نمودار پراکنده‌ی آن‌ها، که بیان گر هم بستگی بین این اطلاعات می‌باشد، دارای اشکال پراکنده و نامنظم تری می‌باشند. بر عکس، طبق جدول ۲، در خاک‌هایی که دارای  $\sigma g$  کم تری (یک نواخت) می‌باشند، این مقادیر دارای روابط هم بستگی قوی تر و بارزتری با بازتاب طیفی بوده و نمودارهای پراکنده‌ی

جدول ۱- هم بستگی بافت با باندهای اصلی، PC1 و SLED در حالت کلی (برای کل نمونه‌ها)

	Green	Red	NIR	SWIR	PC1	SLED
رس	-۰/۷۱۵ **	-۰/۶۸۵ **	-۰/۶۴۳ **	-۰/۶۲۵ **	-۰/۷۰۱ **	-۰/۰۷۱
سیلت	۰/۱۳۸	۰/۱۵۹	۰/۱۲۲	۰/۱۷۰	۰/۱۵۲	۰/۱۸۴
شن	۰/۴۶۷**	۰/۴۲۷**	۰/۴۲۱**	۰/۳۷۱ **	۰/۴۴۴**	-۰/۱۵۷

\*\* ارتباط معنی دار در سطح آماری ۱ درصد

جدول ۲- هم بستگی بافت با باندهای اصلی، PC1 و SLED در نمونه‌های گروه اول ( $\sigma g$  خاک همگون)

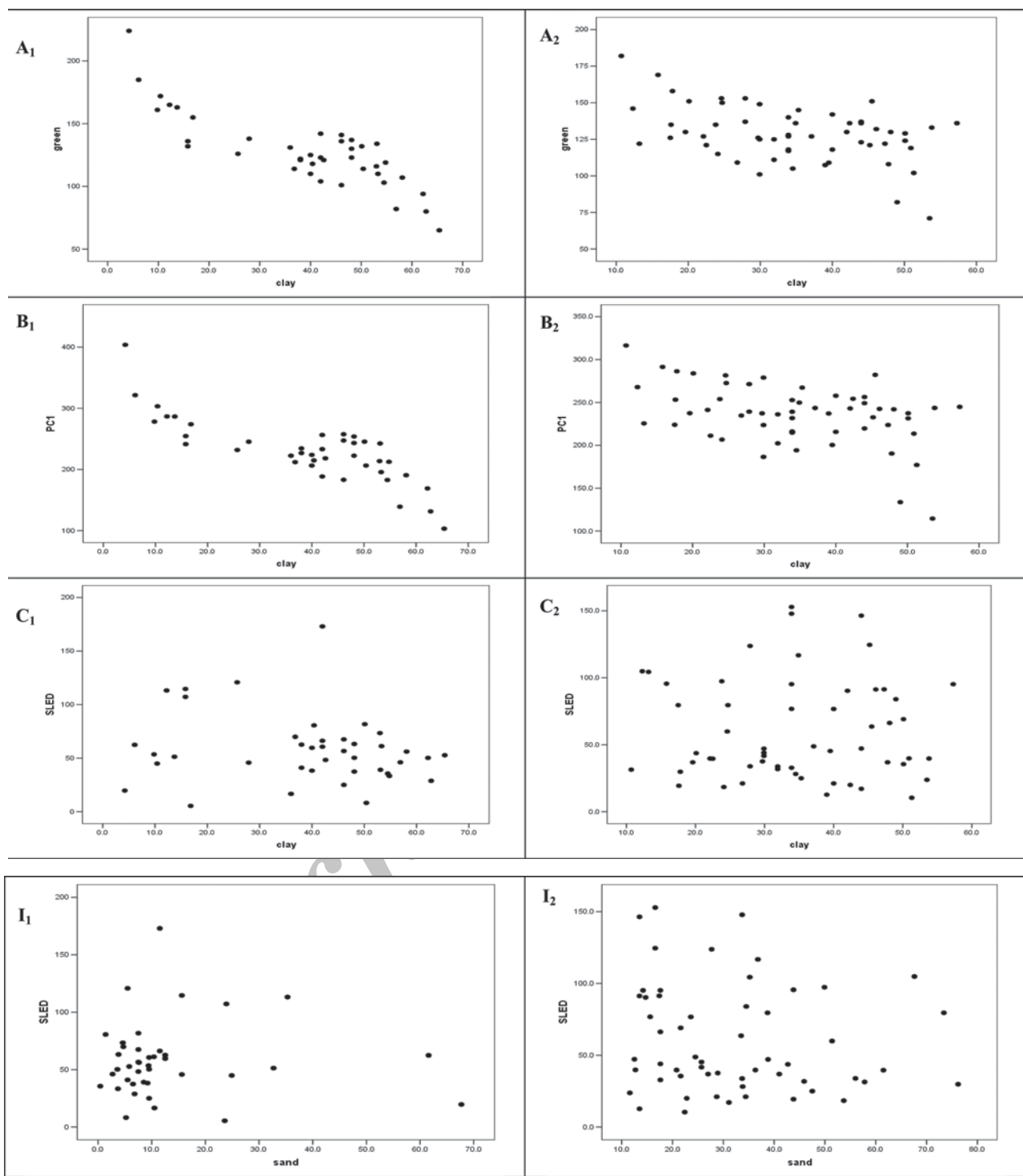
	Green	Red	NIR	SWIR	PC1	SLED
رس	-۰/۸۲۹ **	-۰/۸۲۴ **	-۰/۷۳۱ **	-۰/۷۲۸ **	-۰/۸۱۰ **	-۰/۱۷۶
سیلت	۰/۲۴۴	۰/۲۷۲	۰/۲۶۴	۰/۲۴۷	۰/۲۶۳	۰/۲۷۶
شن	۰/۷۹۸**	۰/۷۷۰**	۰/۶۶۵**	۰/۶۷۶**	۰/۷۶۰**	-۰/۰۰۹

جدول ۳- هم بستگی بافت با باندهای اصلی، PC1 و SLED در نمونه‌های گروه دوم ( $\sigma g \geq 10$  خاک غیر همگون)

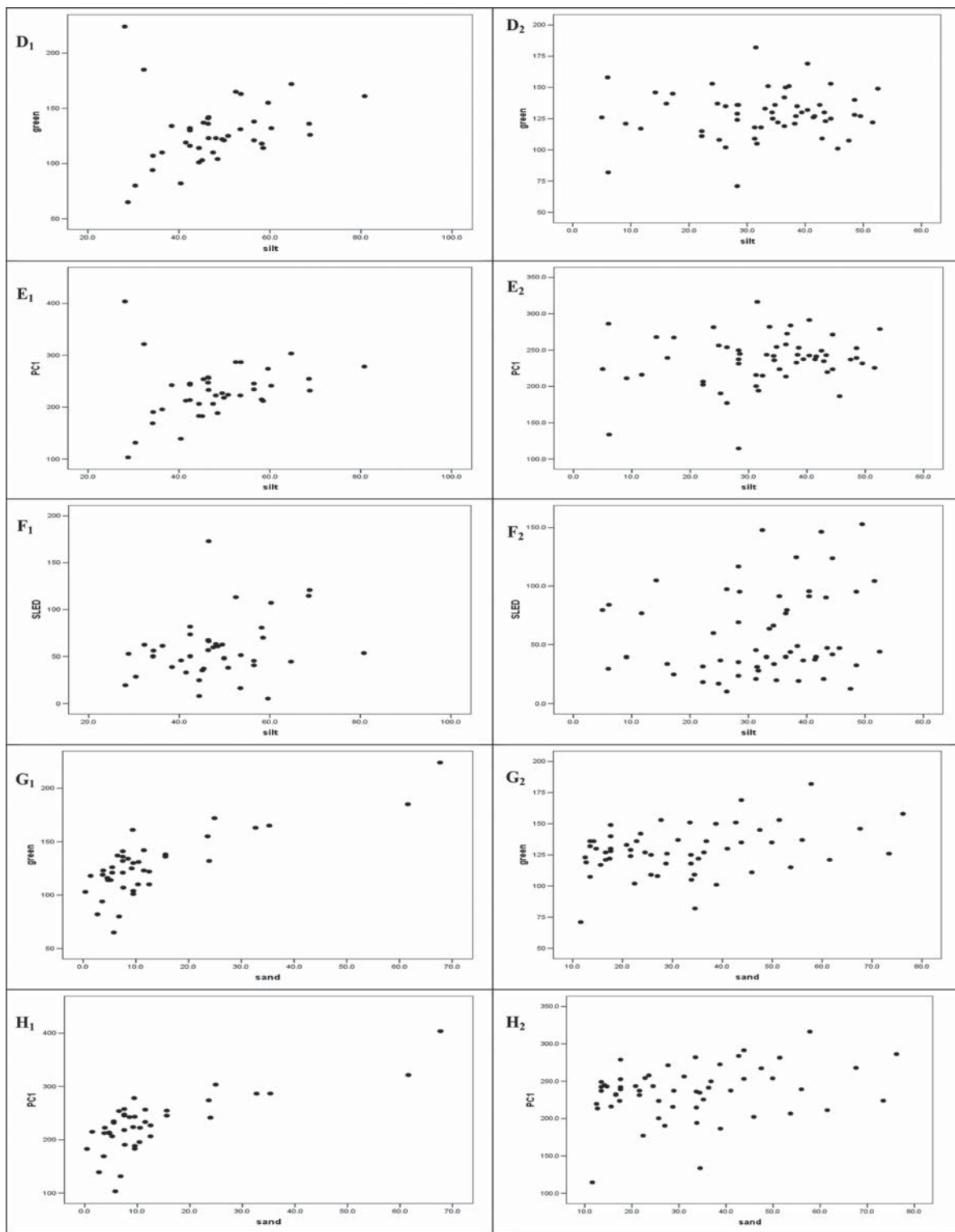
	Green	Red	NIR	SWIR	PC1	SLED
رس	-۰/۴۴۸ **	-۰/۴۰۸ **	-۰/۳۹۷ **	-۰/۳۶۵ **	-۰/۴۳۹ **	۰/۰۵۴
سیلت	۰/۰۹۴	۰/۱۷۸	۰/۲۲۵	۰/۲۲۰	۰/۱۹۳	۰/۰۴۴
شن	۰/۳۳۵°	۰/۲۵۰	۰/۲۲۶	۰/۱۶۷	۰/۲۷۱°	-۰/۱۱۹

Green: باند سبز، Red: باند قرمز، NIR: باند مادون قرمز نزدیک، SWIR: باند مادون قرمز میانی، PC1: لایه اول تجزیه مؤلفه‌های اصلی، SLED:

فاصله اقلیدسی از خاک، \*\*: معنی دار در سطح آماری ۱ درصد، \*: معنی دار در سطح آماری ۵ درصد)

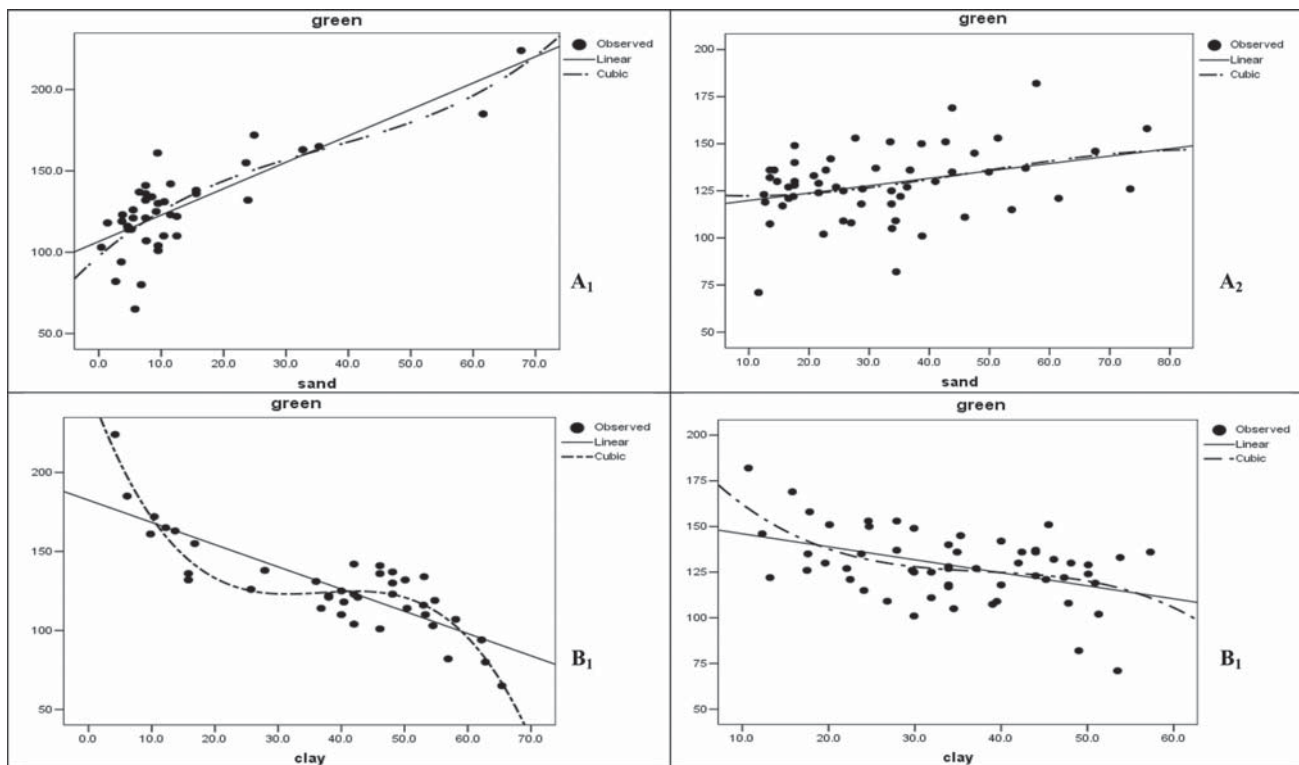


شکل ۵- نمودارهای پراکندگی مقابسه ای بین اطلاعات خاک و داده های دورسنجی شده در دو گروه: ستون ۱ شامل نمونه های  $\sigma g < 10$  (خاک همگون) و ستون ۲ شامل نمونه های  $\sigma g \geq 10$  (خاک غیرهمگون). اشکال: A: رس با باند سبز، B: رس با PC1، C: رس با لایه D، D: رس با لایه E، E: سیلت با باند سبز، F: سیلت با PC1، G: سیلت با لایه H: شن با باند سبز، I: شن با SLED.

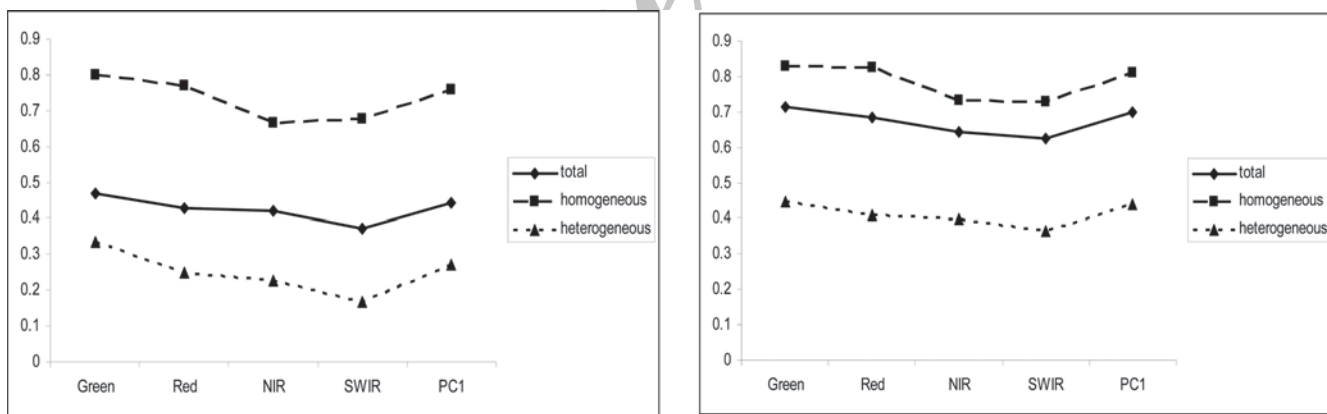


۱۱

ادامه شکل ۵- نمودارهای پراکنده‌ای بین اطلاعات خاک و داده‌های دورسنجی شده در دو گروه: ستون ۱ شامل نمونه‌های  $\sigma g < 10$  (خاک همگون) و ستون ۲ شامل نمونه‌های  $\sigma g \geq 10$  (خاک غیرهمگون). اشکال: A: رس با باند سبز، B: رس با PC1، C: رس با لایه D، SLED، D: رس با باند سبز، E: سیلت با باند سبز، F: سیلت با لایه G، SLED، G: شن با باند سبز، H: شن با PC1، I: PC1 با SLED.



شکل ۶- انطباق خط تمایل (trend line) با نمودار پراکندگی A<sub>1</sub>, A<sub>2</sub>, B<sub>1</sub>, B<sub>2</sub>: خاک های گروه اول  $\sigma g < 10$  (خاک همگون)، A<sub>2</sub>: خاک های گروه دوم (خاک ناهمگون). A: شن با باند سبز، B: رس با باند سبز. (—: رابطه خطی، ---: رابطه درجه سوم)



شکل ۷- تغییرات نمودار هم-بستگی با اطلاعات دورسنجی شده، محور X: مقدار هم-بستگی، محور Y: باندها و PC1 .  
---: نمونه‌های همگون ( $\sigma g < 10$ ) .....: نمونه‌های غیر-همگون ( $\sigma g \geq 10$ ) .....: کل نمونه‌ها

همگون)، تا حد زیادی از مقدار هم بستگی ها کاسته شده است. می توان یافته های این تحقیق را در موارد زیر خلاصه کرد که این موارد بیان گر تأثیر غالب انحراف معیار هندسی ذرات خاک ( $\sigma g$ ) می باشد:  
۱- مقادیر رس و شن در خاک های همگون منطقه، با چهار باند طیفی دارای هم بستگی بسیار مطلوبی می باشند که این روابط در باند سبز بترتیب: ۰/۸۳ و ۰/۰۸ بوده که در سطح آماری ۱ درصد کاملاً معنی دارد، در حالی که در خاک های نا همگون از مقدار این هم

### نتیجه گیری

پس از آزمون هم بستگی (آزمون دو طرفه پیرسون.<sup>۵</sup>) بر روی پارامترهای خاک و داده های ماهواره ای، مشخص گردید که در رفتار طیفی مربوط به اجزای بافت در لایه سطحی خاک، انحراف معیار هندسی ذرات خاک ( $\sigma g$ ) دارای تأثیر معنی داری بر روابط هم بستگی با داده های دور سنجی شده می باشند، بدین معنی که از نمونه های گروه اول (خاک های همگون) به نمونه های گروه دوم (خاک های نا

جدول ۴- ضرایب تبیین (R<sup>2</sup>) روابط شن و رس با باندهای اصلی و PC1 در نمونه های گروه اول  $10 < \text{sg} < 5$  (خاک همگون)

	green		red		NIR		SWIR		PCA1	
رابطه	درجه سوم	خطی								
شن	۰/۶۵۰	۰/۶۳۷	۰/۶۱۸	۰/۵۹۳	۰/۴۶۴	۰/۴۴۳	۰/۴۷۹	۰/۴۵۶	۰/۵۹۷	۰/۵۷۷
رس	۰/۸۵۱	۰/۶۸۷	۰/۸۳۵	۰/۶۷۹	۰/۷۷۱	۰/۵۳۴	۰/۷۷۰	۰/۵۳۰	۰/۸۳۶	۰/۶۵۵

جدول ۵- ضرایب تبیین (R<sup>2</sup>) روابط شن و رس با باندهای اصلی و PC1 در نمونه های گروه دوم  $5 \leq \text{sg} \leq 10$  (خاک ناهمگون)

	green		red		NIR		SWIR		PCA1	
رابطه	درجه سوم	خطی								
شن	۰/۱۱۴	۰/۱۱۲	۰/۰۶۵	۰/۰۶۳	۰/۰۷۷	۰/۰۵۱	۰/۰۳۲	۰/۰۲۸	۰/۰۷۳	۰/۰۷۳
رس	۰/۲۳۸	۰/۲۰۱	۰/۱۹۲	۰/۱۶۷	۰/۱۹۰	۰/۱۵۸	۰/۱۴۹	۰/۱۳۳	۰/۲۱۳	۰/۱۹۳

سنگی شده در خاک های همگون و یک نواخت (homogeneous)، بسیار بالاتر و معنی دار تراز خاک های نا همگون و غیر یک نواخت (heterogeneous) می باشد.

بطوری که در شکل ۷ ملاحظه می گردد، در هر دو مورد، نمودار هم بستگی کل (total) بین این دو گروه واقع شده است. هم چنین مقادیر  $\text{sg}$  بالا (در خاک ناهمگون) سبب شده که خط هم بستگی حتی در پایین تراز هم بستگی کل نمونه ها قرار گیرد و آن بدليل تأثیر غالب  $\text{sg}$  بر بازتاب طیفی از سطح خاک منطقه می باشد. در هر دو مورد نمودار هم بستگی های بالا (شکل ۷: شن و رس)، بترتبی از بالا به پایین نمودار: خط هم بستگی خاک همگون، نمونه های کل (هم بستگی در حالت کلی و برای کل نمونه ها) و خاک نا همگون می باشد. عامل اصلی که سبب ایجاد اختلاف و فاصله بین این دو گروه همگون و نا همگون شده است (خط بالا و پایین در نمودار)، عامل تجانس و درجه یک نواختی ذرات خاک ( $\text{sg}$ ) می باشد که نقش مهمی را در مطالعه بافت خاک منطقه با استفاده از داده های دور سنگی شده، ایفا می کند. بنابر این، طی این تحقیق مشخص گردید که انحراف معیار هندسی ذرات خاک ( $\text{sg}$ )، که بیان گر مقدار تجانس و یک نواختی ذرات خاک می باشد، دارای تأثیر قابل ملاحظه ای بر بازتاب طیفی از سطح خاک می باشد. بدین معنی که عامل  $\text{sg}$ ، سبب ایجاد اختلافات بسیار بارز و مشهودی در مقادیر هم بستگی بین گروه همگون و ناهمگون در مقایسه با کل نمونه های خاک شده است: (جداول ۲، ۳ و نمودار های پراکندگی اشکال: ۵، ۶ و ۷ ضرایب تبیین روابط، جداول: ۴ و ۵).

### سپاس گزاری

بدین وسیله از جناب آقای دکتر طهماسبی پور، عضو هیأت علمی دانشگاه لرستان، جهاد کشاورزی خرم آباد و نیز گروه مرتع و آبخیزداری شهرستان پل دختر که در انجام این تحقیق هم کاری نمودند، صمیمانه سپاس گزاری می شود. هم چنین از سازمان فضایی و سازمان جغرافیایی نیروهای مسلح که در تهیه تصاویر منطقه ما را یاری نمودند، صمیمانه قدردانی می شود.

بستگی ها تا حد زیادی کاسته شده و بترتیب به مقادیر:  $0/۳۴$  و  $0/۴۵$  رسیده است.

۳- در روابط شن و رس با لایه اول تحلیل مؤلفه اصلی (PC1)، در خاک های همگون روابط نسبتاً خوبی وجود دارد که هم بستگی های آن ها به ترتیب:  $0/۷۶$  و  $0/۸۱$  بوده است، در حالی که در گروه دوم تا حد زیادی از این هم بستگی ها کاسته شده و به مقادیر  $0/۲۷$  و  $0/۴۴$  رسیده است.

۴- در مورد لایه فاصله اقلیدسی از خط خاک منطقه (SLED)، بطور کلی اگرچه ارتباط معنی داری با اطلاعات مورد بررسی در خاک وجود نداشته (در هر دو گروه)، ولی از روی نمودارهای پراکندگی (شکل ۵: C۱ و C۲، F۱ و F۲، I۱ و I۲) تا حدی می توان به این امر پی برد که در گروه اول (همگون)، نمودارها منظم تر و مرتبت تراز نمودارهای گروه دوم (ناهمگون) می باشد که این هم دلیلی بر تأثیر  $\text{sg}$  بر روابط بازتابی می باشد.

۵- خط تمایل (trend line) در خاک های همگون ( $10 < \text{sg} < 5$ ) در حالی که همین ضریب تبیین در خاک های ناهمگون ( $5 \leq \text{sg} \leq 10$ ) باشد، مقدار ضریب تبیین برای شن با از موارد بوده و نیز ضرایب تبیین در این خاک های بسیار کم و در بسیاری از موارد، ناچیز می باشد. بطور مثال، مقدار ضریب تبیین برای شن با باند سبز در حالت درجه سوم ( $\text{sg}$  غیرخطی) در خاک همگون،  $0/۶۵$  بوده است در حالی که همین ضریب در خاک ناهمگون به  $0/۱۱۴$  (که کاملاً بی معنی می باشد) تنزل پیدا کرده است. هم چنین برای رس در حالت درجه سوم از  $0/۸۵۱$  (کاملاً بی معنی دار) به  $0/۲۳۸$  (کاملاً بی معنی) تنزل پیدا کرده است. (شکل ۶ و جداول ۴ و ۵)

۶- همان طوری که در بخش های قبل هم گفته شد و در شکل ۷ نیز شخص می باشد، مقدار هم بستگی شن و رس با اطلاعات دور

- 45- Scatter plot  
 46- Correlation Matrix  
 47- Curve estimation  
 48- Cubic  
 49- Trend line  
 50- Pearson's two tailed (bivariate) correlation

### منابع مورد استفاده

- ۱- بهرامی، ح. ع.، پرنلخ، ت. و طهماسبی پور، ن. (۱۳۸۴) مطالعه فرسایش پذیری خاک در کاربری های مختلف اراضی در حوضه آبخیز چم انجیر، سومین همایش ملی فرسایش و رسوب، تهران، ص ۵۱۰-۵۰۵.
- ۲- خواجه الدین، س. ج. (۱۳۷۹) روش های جمع آوری داده های صحرایی برای تفسیر داده های ماهواره ای، مجموعه مقالات اولین همایش بیابان زایی و روش های مختلف بیابان زدایی، مؤسسه تحقیقات جنگل ها و مراتع، ص ۳۳۸-۳۳۷.
- ۳- دانش، م.، بهرامی، ح. ع.، علوی پناه، س. ک. و نورووزی، ع. ا. (۱۳۸۷) مطالعه بافت و آهک خاک با استفاده از داده های سنجنده LISS III ماهواره IRS-P6 نشریه علمی - فنی سپهر، دوره هفدهم، شماره ۶۷، ص ۳۵-۲۶.
- ۴- مطالعات مرحله شناسایی - تکمیلی طرح آبخیزداری حوضه کرخه (گزارش فرسایش خاک و رسوبدهی)، (۱۳۷۴) وزارت جهاد سازندگی استان لرستان، معاونت آبخیزداری، دفتر طرح ریزی و هماهنگی، شرکت خدمات مهندسی جهاد، خرم آباد.
- 5- Aitchison, J., (1986) *The Statistical Analysis of Compositional Data*. Chapman and Hall, New York.
- 6- Bannari, A., Morin, D., Bonn, F. and Huete, A. R. (1995) A review of vegetation indices. *Remote Sensing Reviews (Journal of RS)*, 13, 95-120.
- 7- Baret, F., Jaquemoud, S. and Hanocq, J. F. (1993) The soil line concept in remote sensing. *Remote Sens. Environ (Journal of RS of Environment)*, 7, 1-18.
- 8- Bogerkci, I. and Lee, W. S. (2004) *Soil particle size effect on absorbance spectra of sandy soils in UV-Vis-NIR regions*. ASAE paper no. 043112. St. Joseph, Mich: ASAE.
- 9- Brown, D.J., (2007) Using a global VNIR soil-spectral library for local soil characterization and landscape modeling in a 2nd-order Uganda watershed. *Geoderma* 140, 444-453.
- 10- Byron, J. R., (1994) Spectral encoding of soil texture: a new visualization method. *GIS/LIS Proceeding*, 94, 125-132.
- 11- Chang, C.W., Laird, D.A., Mausbach, M.J., Maurice, J., Hurlburgh, J.R., (2001) Near- Infrared reflectance spectroscopy – principal components regression analyses of soil properties. *Soil Science Society of America Journal* 65, 480-490.
- 12- Cierniewski, J., (1987) A model for soil surface-roughness influence on the spectral response of bare soils in the visible and near-infrared range. *Remote Sensing of Environment* 23 (1), 97-

### پاورقی ها

- 1- Geometric standard deviation of soil particles  
 2- Erosion processes  
 3- Land evapotranspiration  
 4 - Vegetation primary productivity  
 5- Soil spectral reflectance  
 6- Visible  
 7- Near Infrared  
 8- Short Wave Infrared  
 9- Thermal Infrared  
 10- Airborne Visible Infrared Imaging Spectrometer (AVIRIS)  
 11- Mojave Desert  
 12- Coefficient of determination(R2)  
 13- Near Infrared Soil Reflectance Spectroscopy technique  
 14- Soil reflectance response  
 15- Indian Remote Sensing Satellite(IRS)  
 16- Coordinate system  
 17- Geometric correction  
 18- Ground Control Point(GCP)  
 19- Map to image  
 20- Image to image  
 21- Haze correction  
 22- Normalized Difference Vegetation Index (NDVI)  
 23- Principal Component Analysis(PCA)  
 24- Unsupervised Classification  
 25- Soil Line Euclidean Distance (SLED)  
 26- False Color Composite(FCC)  
 27- Optimum Index Factor (OIF)  
 28- PCA1  
 29- Contrast and shade effect  
 30- Band rationing  
 31- Obscureness-shadow function  
 32- Counterbalance function  
 33- Filling  
 34- Fill skins operation  
 35- Digital Elevation Model  
 36- Value map  
 37- PCA  
 38- Canonical Variation Analysis (CVA)  
 39- Dominance & coverage influence  
 40- Reflecting perturbations  
 41- Clustering  
 42- Stratified Randomized Sampling method(SRS)  
 43- Fieldwork  
 44- Global Positioning System(GPS)

- ecosystem). *International Journal of Remote Sensing*, 22 (12), pp. 2311-2328.
- 28-Lillesand Thomas, M. and Kiefer Plaph, W. (1994) Remote sensing and image interpretation John Willey & Sone, Inc.
- 29- Lopez-Granados, F., Jurado-Exposito, M., Pena-Barragan, J.M. and L. Garcia-Torres, (2005) Using geostatistical and remote sensing approaches for mapping soil properties. *European Journal of Agronomy*, 23 (3), pp. 279-289.
- 30- Maselli, F, Gardin, L. and Bottai, L. (2006) Automatic mapping of soil texture through the integration of ground, satellite and ancillary data. *International Journal of Remote Sensing*. TRES-PAP-2006, 427.
- 31- Moran, M. S., Inou, Y. and Barends, E. M. (1997) Opportunities and limitations for image-based remote sensing in precision crop management. *Remote sensing of environment*, 61, 319-364.
- 32- Nanni, M. R. and Dematte, J. L. M. (2006) Spectral reflectance methodology in comparison with traditional soil analysis. *Soil Science Society of America Journal*, 70, 393-407.
- 33- Okin, G. S. and Painter, T. H. (2003) Effect of grain size on remotely sensed spectral reflectance of sandy desert surfaces. *Remote Sensing of Environment*, 89(2004), 272-280.
- 34- Richards, J. A., (1993) *Remote sensing digital image analysis: an introduction*. 2nd edition, Springer-Verlag, Heilderberg, Pp. 340.
- 35- Rondeaux, G., Steven, M. and Baret, F. (1996) Optimization of soil-adjusted vegetation indices, *Remote Sensing of Environment*, 55: 95-107.
- 36- Shirazi, M. A. and Boersma, L. (1984) A unifying quantitative analysis of soil texture. *Soil Sci. Soc. Am. J.* 48: 142-147.
- 37- SPSS, (2004) *Statistical Package for the Social Sciences version 13.0*, SPSS Inc., (Apache Software Foundation).
- 38- Soil Survey Staff, (1996) *Soil Survey Laboratory Methods Manual. Soil Survey Investigations Report No. 42*, version 3.0, USDA NRCS National Soil Survey Center, Washington, D.C.
- 39- Soil Survey Staff, (1999) *Soil Taxonomy: A basic system of soil classification for making and interpreting soil surveys*. USDA Agricultural Handbook 436. Washington DC.
- 40- Thompson, J.A., Bell, J.C., Butler, C.A., (2001) Digital elevation model resolution: effects on terrain attribute calculations and quantitative soil-landscape modeling. *Geoderma* 100, 67-89.
- 41- Viscarra Rossel, R. A., Walwoort, D. J. J., Mc Bratney, A. B., Janik, L. K. and Skjemstad, J. O. (2006b) Visible, near infrared, mid-infrared or combined diffuse reflectance spectroscopy for simultaneous assessment of various soil properties. *Geoderma*, 131, 59-75.
- 115.
- 13- Cozzolino, D. and Moron, A. (2003) The potential of near-infrared reflectance spectroscopy to analyse soil chemical and physical characteristics. *Journal of Agricultural Sciences*, 140, 65-71.
- 14- Demattê, J. A. M., Campos, R. C., Alves, M. C., Fiorio, P. R. and Nanni, M. R. (2004) Visible-NIR reflectance: a new approach on soil evaluation. *Geoderma* 121, 95-112.
- 15- Drummond, S., Joshi, A. and Sudduth, K. A. (1998) *Application of neural networks: Precision Farming*. In: Proc. IEEE Int. Neural Networks, Piscataway, N. J. pp. 211-215.
- 16- Dwivedi, R. S., Ramana, K. V., Thammappa, S. S. and Sigh, A. N. (2001) The utility of IRS- 1IRS- 1CLISS III and PAN-merged data for mapping salt affected soil, *Photogrammetric Engineering & Remote Sensing Vol. 67*, No. 10, 1167-1175.
- 17- Farifteh, J., Farshad, A. and George, R. J. (2006) Assessing salt-affected soils using remote sensing, solute modeling, and geophysics. *Geoderma*, 130(3-4), 191-206.
- 18- Folk, R. L., (1966) A review of grain size parameters. *Sedimentology*, 6, 73-93.
- 19- Fox, G. A. and Sabbagh, G. J. (2002) Estimation of soil organic matter from red and near-infrared remotely sensed data using a soil line Euclidean distance technique. *Soil Sci. Soc. Am. J.* 66:1922-1928.
- 20- Fox, G. A., Sabbagh, G. J. and Searcy, S. W. (2003) Radiometric normalization of multi-temporal images using the soil line transformation technique. *Trans. ASAE* 46:851-859.
- 21- Ge, Y., Thomasson, J. A. and Sui, R. (2006) *Remote Sensing of Soil Properties in Precision Agriculture: A Review*. An ASABE Meeting Presentation. Portland Convention Center, Portland, Oregon 9 - 12 July 2006 Paper Number: 061176.
- 22- Gupta, R. D., (1991) *Remote sensing geology*. Springer verlag pub. 365.
- 23- Huette, A. R., (1988) A soil adjusted vegetation index (SAVI). *Remote Sensing of Environment*, 25, 295- 309.
- 24- ILWIS, (2005) ILWIS version 3.3 Academic, ITC (RSG/GSD), the Netherlands.
- 25- Jensen, J. R., (1996) *2nd ed. Introductory image processing: A remote sensing perspective*. Prentice Hall, Upper Saddle River, NJ.
- 26- Jensen, J. R., (2000) *Remote sensing of the environment; an earth resources perspective* Upper Saddle River, N. Y.: Prentice – Hall, Inc, Pp 544.
- 27- Leone, A. and Escadafal, R. (2001) Statistical analysis of soil color and spectroradiometric data for hyperspectral remote sensing of soil properties (example in a southern Italy Mediterranean